

Figura 1. Reordenamientos VDJH confirmando origen B

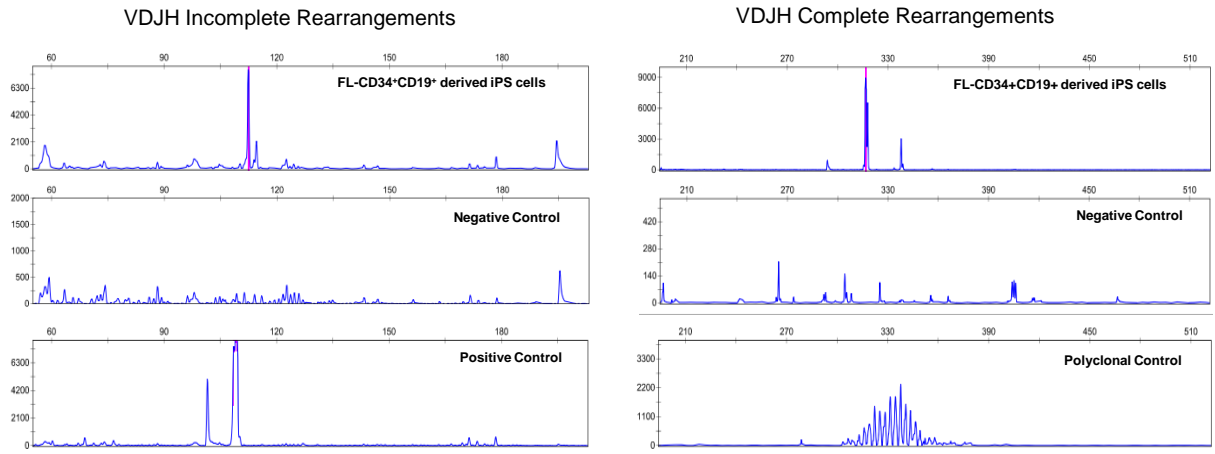


Figura 2. Morfología de la iPSC con iCas9 a campo claro

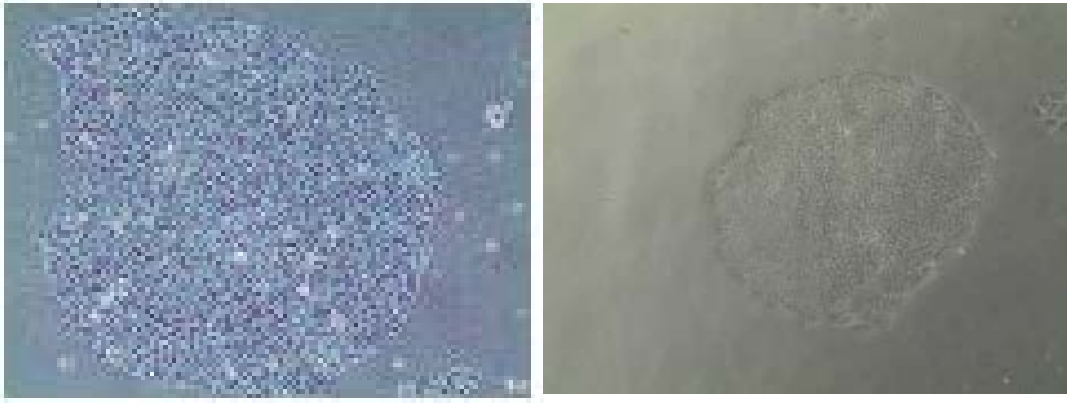
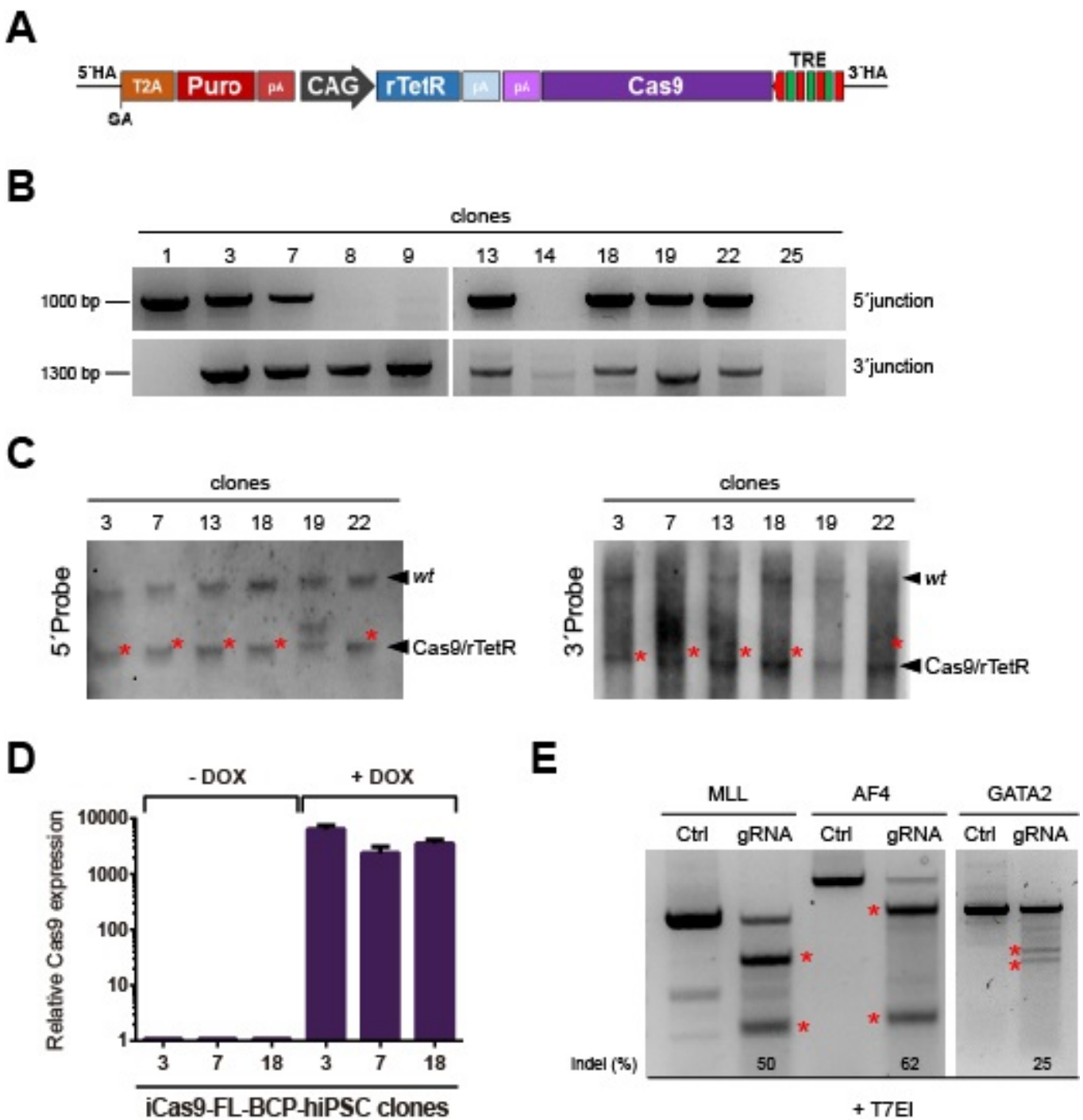


Figura 3. Edición génica para introducir iCas9 en locus AAVS1.



- a. Donor vector con la Cas9 inducible por doxicilina
- b. PCR mostrando correcta integración del cassette en AAVS1 locus
- c. Southern blot mostrando que sólo hay una copia integrada.
- d. Expresión de Cas9 tras exposición a dox. El sistema funciona muy bien y no es "leaky"
- a. Ensayo T7 para confirmar con distintos guides RNA que la línea funciona y no es "leaky".

Figura 4a. Marcaje para AP



Figura 4b. FACS para marcadores de pluripotencia

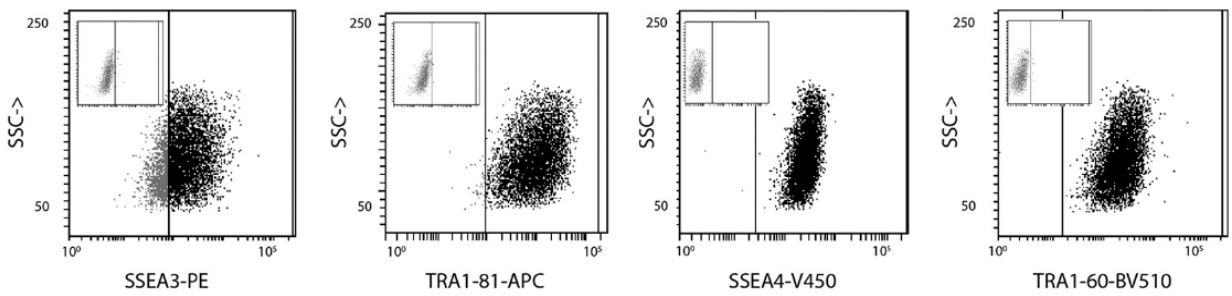


Figura 4c. qRT-PCR para factores de pluripotencia

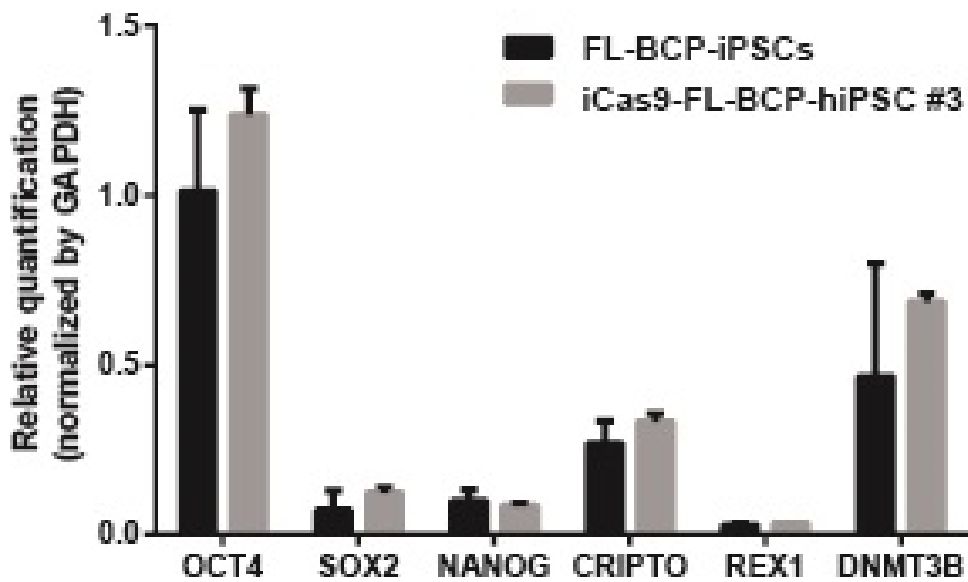


Figura 5. Teratomas in vivo en NSG



Figura 6. cariotipo por bandeo G

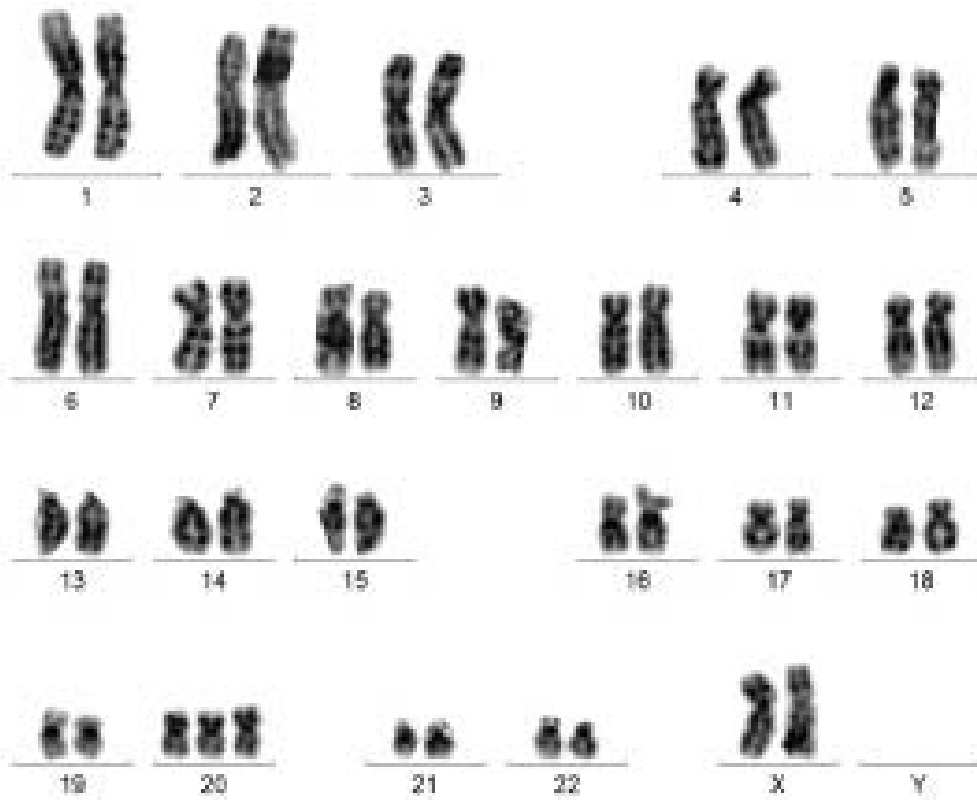


Figura 7. Eliminación Sendai Virus – no integración del transgén

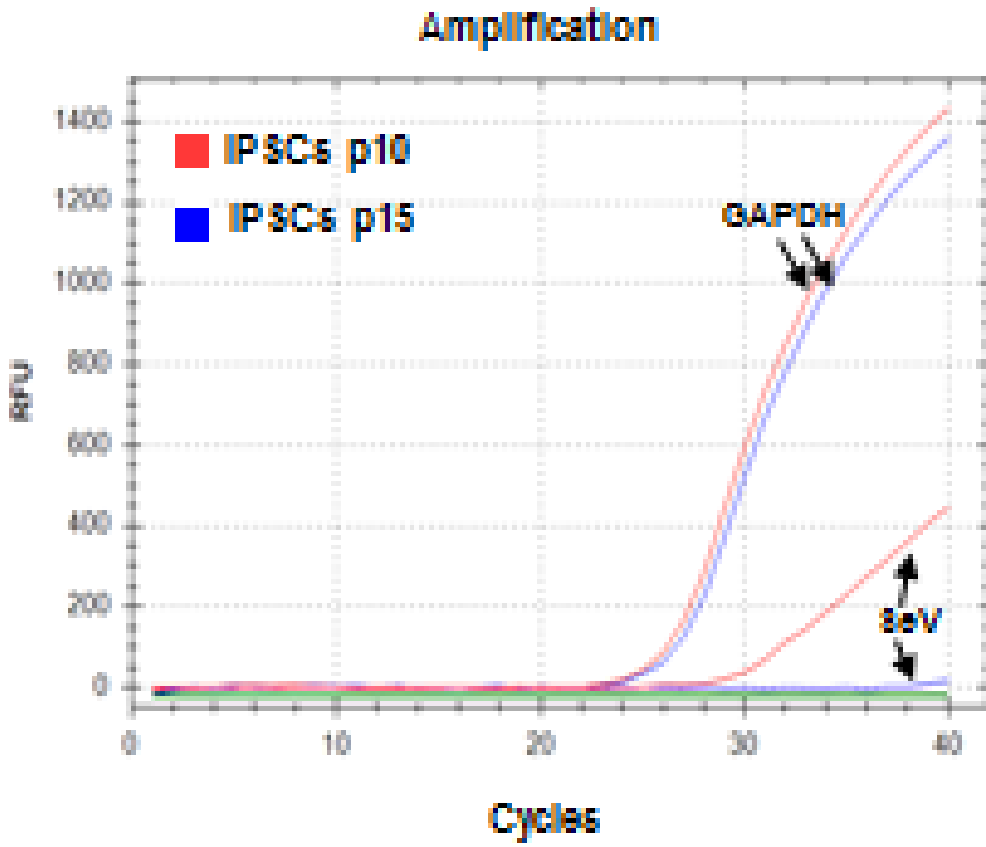


Figura 8. Demetilación de los promotores de Nanog y Oct-4

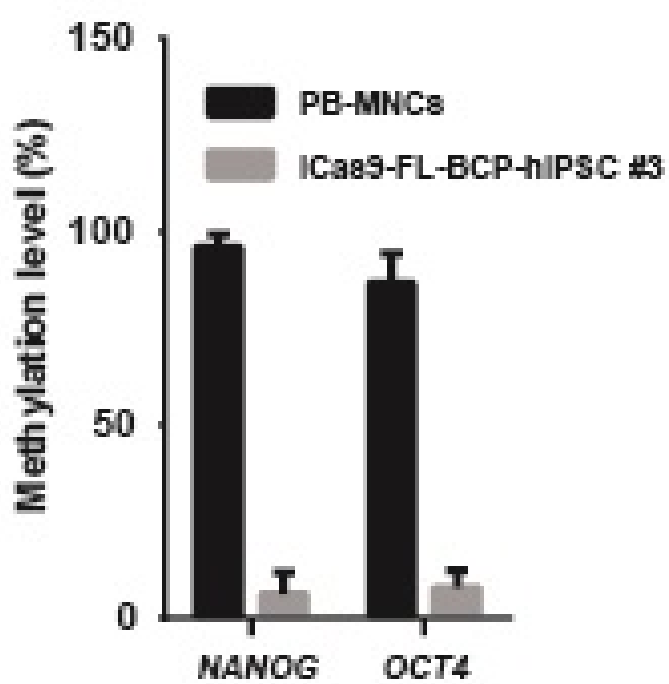




Figura 9. Negatividad para micoplasma

